

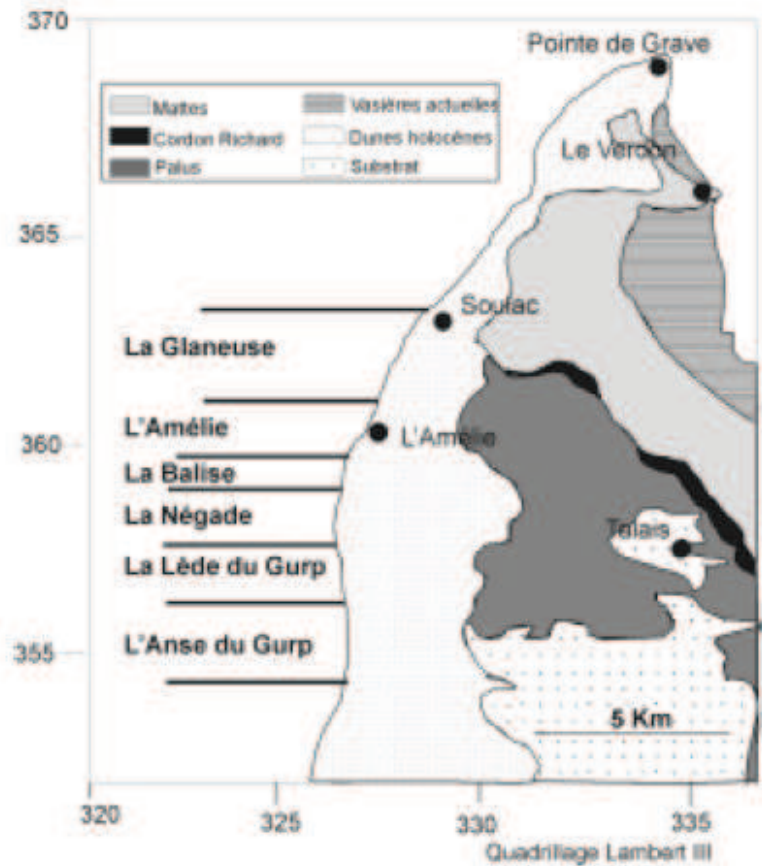
Atelier du 20/01/2015

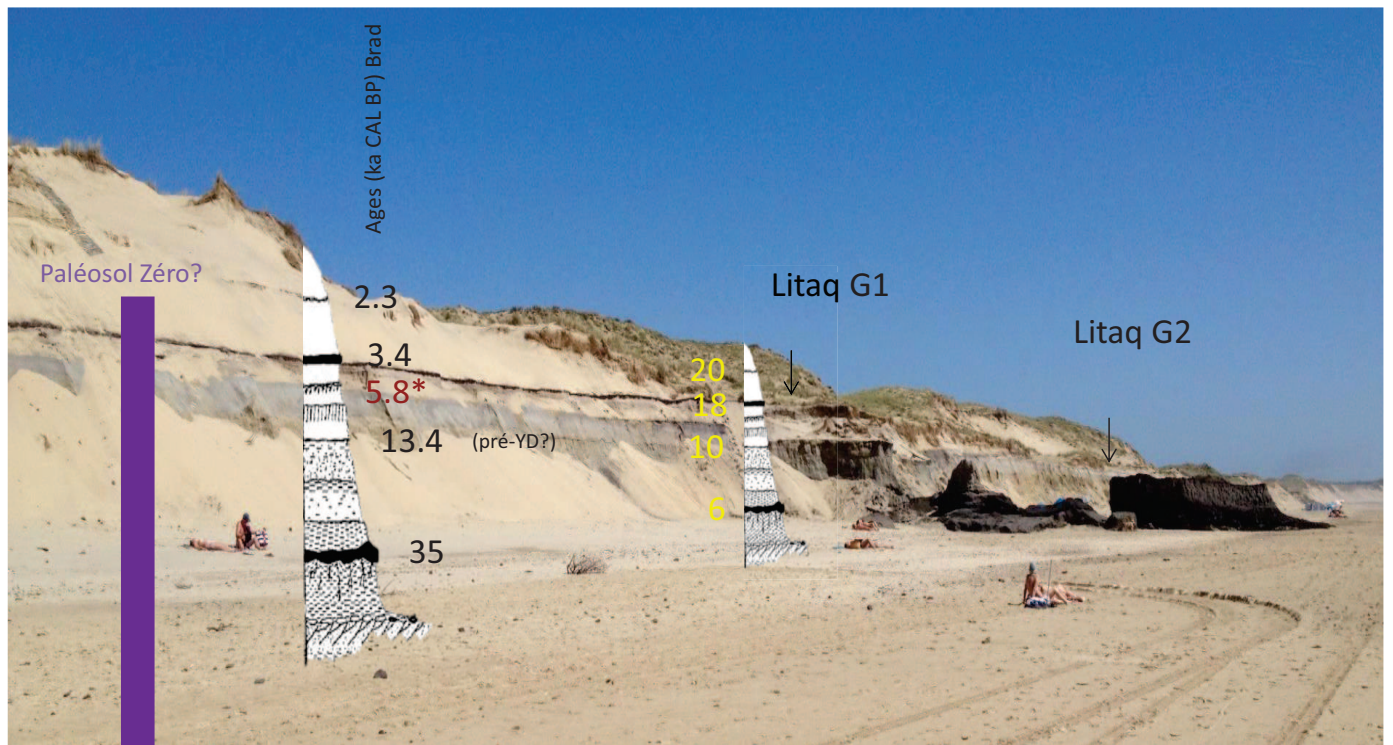
Problématiques à travailler en priorité :

- Calage/ suivi des paléosols dunaires Soulac -LDG

- Calage coupeSSS LDG depuis JLR

- Niveaux à huitre /
référencement alti.?

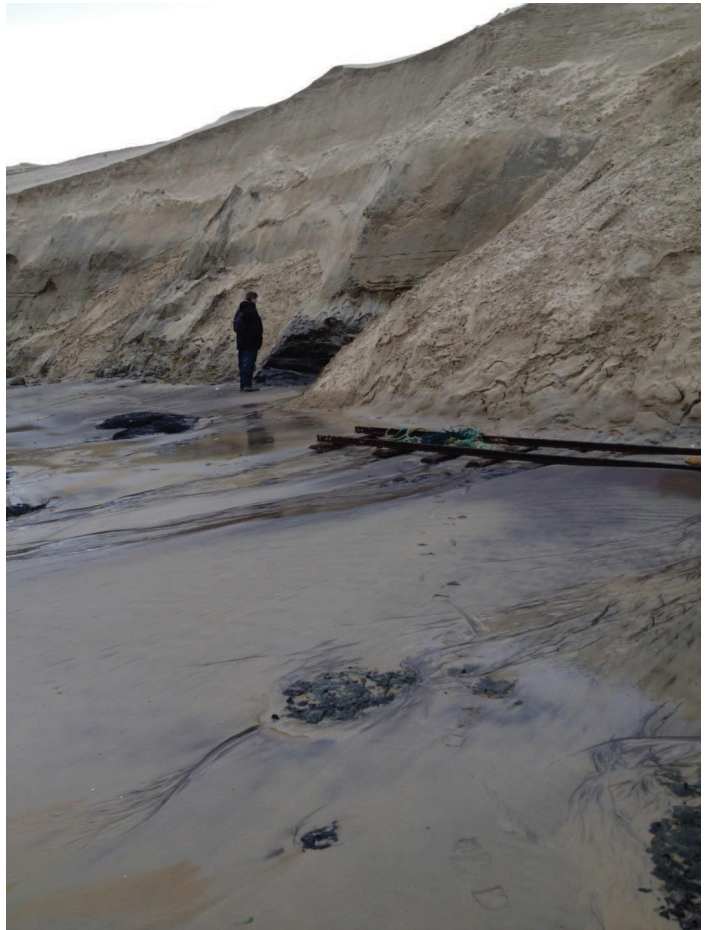




* Date issue de Roussot-Larroque , 1975

En cohérence avec dates obtenues à l'Amélie (prélèvement Gilles, s0 ~2 ka BP)





Paléosol **S**

Coupe de l'Amélie nord n°

Projet LITAQ – Mars 2014

Paléosol **S**

Coupe de l'Amélie nord n°

Projet LITAQ – Mars 2014

Paléosol **S**

Coupe de l'Amélie nord n°

Projet LITAQ – Mars 2014

Paléosol **S**

Coupe de l'Amélie nord n°

Projet LITAQ – Mars 2014

| Description | VERA Lab Code | ID | Sample label | pMC | +/- | years BP | +/- | from | to | from | to | Moy. | |
|---|---------------|-------------|---|--------|--------|----------|--------|--------|--------|--------|--------|----------|----|
| LITAO, A2 / A1 site condensed level with WOOD (oysters/ gastropods) | VERA-51340 | FEsoil01_19 | L1, LITAO, A2/A1 | 83 | 1 | 1464 | 60 | 550 | 646.5 | 429 | 663.5 | 546.25 | AD |
| LITAO, A2 / A1 site condensed level with GASTROPODS (wood/ oysters) | VERA-51341 | FEsoil01_20 | L2, LITAO, A2/A1 | 80 | 1 | 1754 | 65 | 220 | 383.5 | 126 | 417 | 271.5 | AD |
| LITAO, A2 / A1 site condensed level with OYSTERS (wood/ gastropods), broken oyster remains | VERA-51342 | FEsoil01_21 | L3, LITAO, A2/A1 | 76 | 1 | 2162 | 63 | -355.5 | -112 | -373.5 | -50 | -211.75 | BC |
| LITAO, Amelie site condensed level with oysters and Scrobicularia, 2 Scrobicularia sp. Shells | VERA-51343 | FEsoil01_22 | L4, LITAO, Amelie site | 77 | 1 | 2110 | 60 | -202 | -44 | -356 | 16.5 | -169.75 | BC |
| LITAO, A2 core, Top (ocm), peat | VERA-51344 | FEsoil01_23 | L5, LITAO, A2 core, Top (0 m) | 85 | 1 | 1349 | 52 | 640.5 | 764.5 | 601.5 | 772 | 686.75 | AD |
| Oyster shells, sample weight: 300 g | VERA-51338 | FEsoil01_17 | Couche, huitres A ML_N, 004, Puits, Bois, Quercus | 77 | 1 | 2108 | 74 | -346 | -38.5 | -359 | 25.5 | -166.75 | BC |
| Wood , 200 g | VERA-51336 | FEsoil01_15 | | 60.895 | 0.5322 | 3984.4 | 70.206 | -2617 | -2348 | -2853 | -2286 | -2569.25 | BC |
| Palaeosoil, 200 g, sample derives from stratigraphic sections (dune fronts) | VERA-51334 | FEsoil01_13 | Coupe 3, 3 2 paleosoil 1 | 84.761 | 0.5431 | 1328.1 | 51.471 | 652 | 765.5 | 605.5 | 854 | 729.75 | AD |
| Palaeosoil, 200 g, sample derives from stratigraphic sections (dune fronts) | VERA-51335 | FEsoil01_14 | Coupe 4, Bois tombe, Paleosoil 1 | 87.326 | 0.7515 | 1088.7 | 69.131 | 884.5 | 1021.5 | 769.5 | 1147.5 | 958.5 | AD |
| Palaeosoil, 200 g, sample derives from stratigraphic sections (dune fronts) | VERA-51333 | FEsoil01_12 | Coupe 16, paleosoil 2 | 86.36 | 0.7536 | 1178 | 70.1 | 770 | 961.5 | 686 | 988.5 | 837.25 | AD |
| Palaeosoil, 200 g, sample derives from stratigraphic sections (dune fronts) | VERA-51339 | FEsoil01_18 | Coupe 21 2 Paleosoil 0 | 78.735 | 0.694 | 1920.6 | 70.807 | 1.5 | 210 | -90.5 | 252 | 80.75 | AD |
| Peat, 200 g, sample derives from stratigraphic sections (dune fronts) | VERA-51337 | FEsoil01_16 | Coupe 25, Paleosoil 0 | 77.709 | 0.6287 | 2025.9 | 64.991 | -109.5 | 54.5 | -198.5 | 123.5 | -37.5 | BC |

Coupe Amélie nord, n°1 (et 2, non prélevée)

Paléosol S1

| VERA Lab Code | ID | Sample label | pMC | +/- | years BP | +/- | from | to | from | to | Moy. | |
|---------------|-------------|-------------------------------------|--------|--------|----------|--------|-------|--------|-------|--------|--------|----|
| VERA-51334 | FEsoil01_13 | Coupe 3, 3 2 paleosoil 1 | 84.761 | 0.5431 | 1328.1 | 51.471 | 652 | 765.5 | 605.5 | 854 | 729.75 | AD |
| VERA-51335 | FEsoil01_14 | Coupe 4, Bois tombe, Paleosoil 1 | 87.326 | 0.7515 | 1088.7 | 69.131 | 884.5 | 1021.5 | 769.5 | 1147.5 | 958.5 | AD |



45°29'49.8600''N
1°08'29.7360''W
Alt. Géoïde :59.8 m

=> DATES S1 = 1^{er} millénaire

Coupe Amélie nord, n°5

45°29'46.6980''N
1°08'31.1940''W
Alt. Géoïde : 47.9 m

| VERA Lab Code | ID | Sample label | pMC | +/- | years BP | +/- | from | to | from | to | Moy. | |
|---------------|-------------|-----------------------|-------|--------|----------|------|------|-------|------|-------|--------|----|
| VERA-51333 | FEsoil01_12 | Coupe 16, paleosoil 2 | 86.36 | 0.7536 | 1178 | 70.1 | 770 | 961.5 | 686 | 988.5 | 837.25 | AD |

Paléosol S2

=> DATES S2 = fin 1^{er} mil.



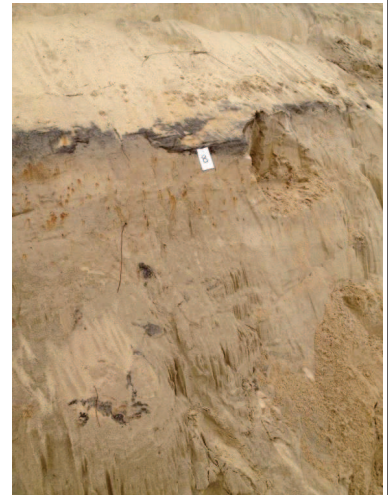
Paléosol S1

=> DATES S1 = fin 1^{er} mil.

9

Coupe Amélie nord, n°8

Paléosol S1



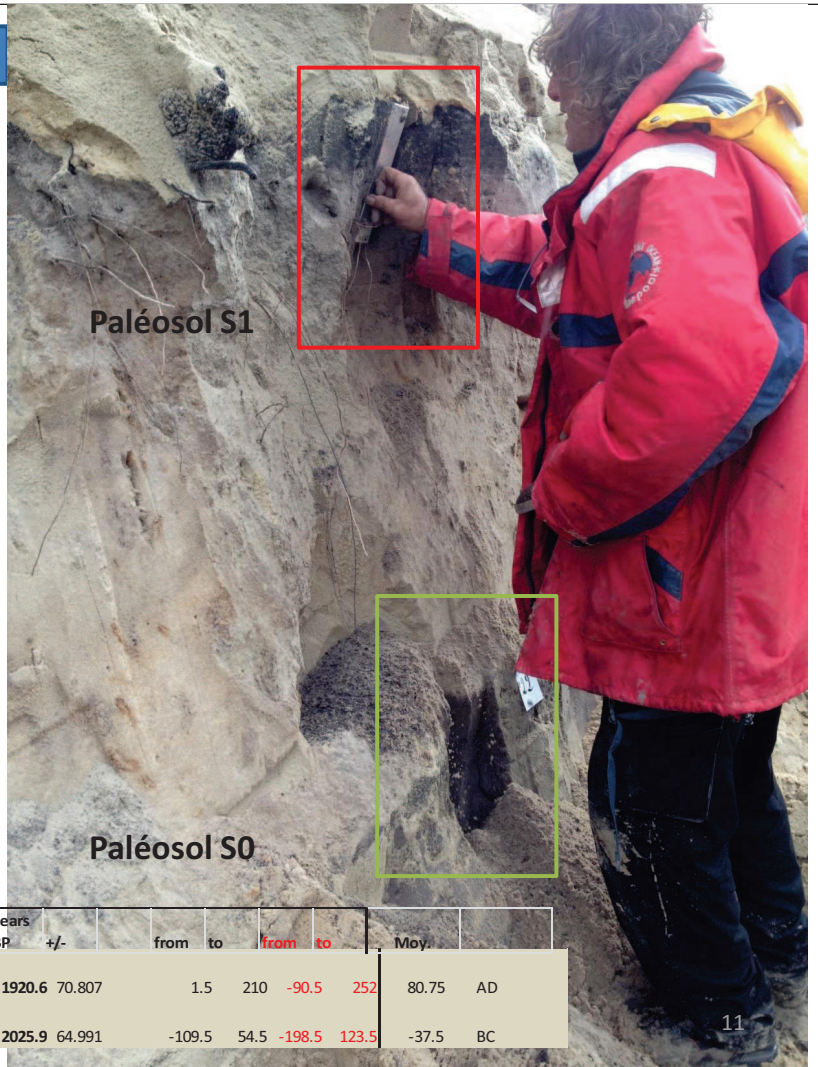
45°29'43.6920''N
1°08'32.5620''W
Alt. Géoïde : 64 m

=> DATES S1 = 1^{er} millenaire

510

Coupe Amélie nord, n°22

=> DATES S1 = fin 1^{er} mil.



=> DATES = S0 = autour de 0

| VERA Lab Code | ID | Sample label | pMC | +/- | years BP | +/- | from | to | from | to | Moy. | |
|---------------|-------------|------------------------|--------|--------|----------|--------|--------|------|--------|-------|-------|----|
| VERA-51339 | FEsoil01_18 | Coupe 21 2 Paleosoil 0 | 78.735 | 0.694 | 1920.6 | 70.807 | 1.5 | 210 | -90.5 | 252 | 80.75 | AD |
| VERA-51337 | FEsoil01_16 | Coupe 25, Paleosoil 0 | 77.709 | 0.6287 | 2025.9 | 64.991 | -109.5 | 54.5 | -198.5 | 123.5 | -37.5 | BC |

Coupe Amélie nord, n°1

Paléosol S1

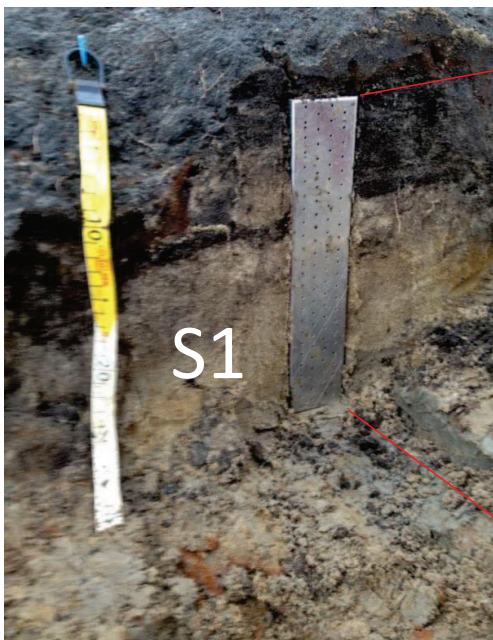
| VERA Lab Code | ID | Sample label | pMC | +/- | years BP | +/- | from | to | from | to | Moy. | |
|---------------|-------------|----------------------------------|--------|--------|----------|--------|-------|--------|-------|--------|--------|----|
| VERA-51334 | FEsoil01_13 | Coupe 3, 3 2 paleosoil 1 | 84.761 | 0.5431 | 1328.1 | 51.471 | 652 | 765.5 | 605.5 | 854 | 729.75 | AD |
| VERA-51335 | FEsoil01_14 | Coupe 4, Bois tombe, Paleosoil 1 | 87.326 | 0.7515 | 1088.7 | 69.131 | 884.5 | 1021.5 | 769.5 | 1147.5 | 958.5 | AD |

45°29'49.8600''N

1°08'29.7360''W

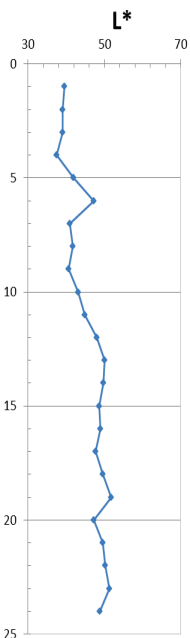
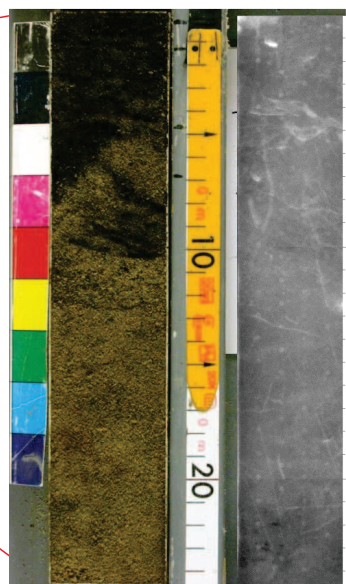
Alt. Géoïde :59.8 m

=> DATES S1 = fin 1^{er} siècle



Imagerie

SCOPIX



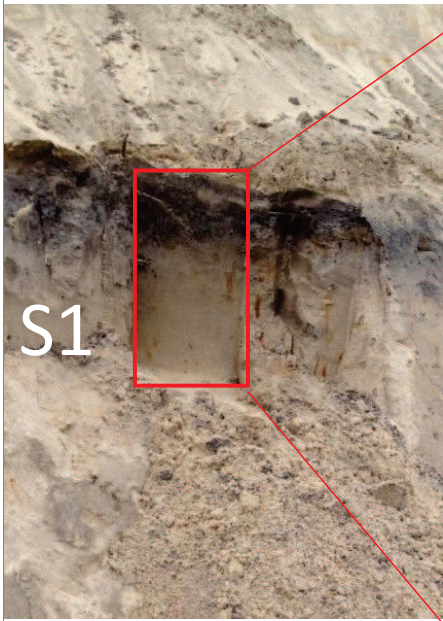
Coupe Amélie nord, n°8

=> DATES S1 = fin 1^{er} siècle

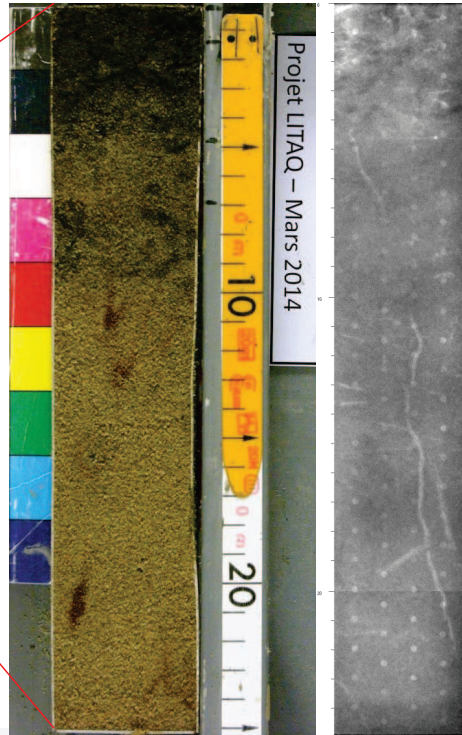
Paléosol S1

Imagerie

SCOPIX



S1



45°29'43.6920''N
1°08'32.5620''W
Alt. Géoïde : 64 m

Coupe Amélie nord, n°5

45°29'46.6980''N, 1°08'31.1940''W, Alt. Géoïde : 47.9 m

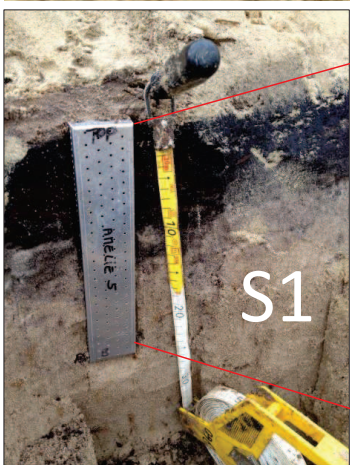
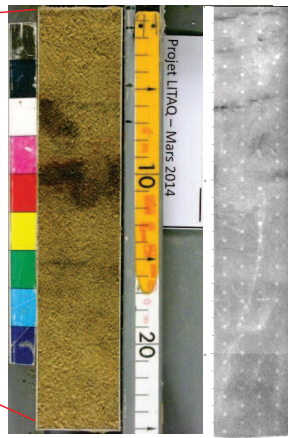
Imagerie

SCOPIX

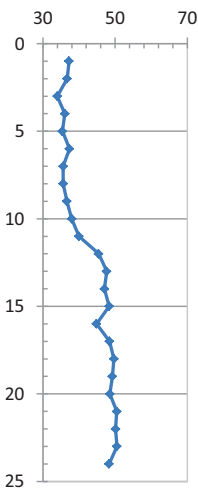
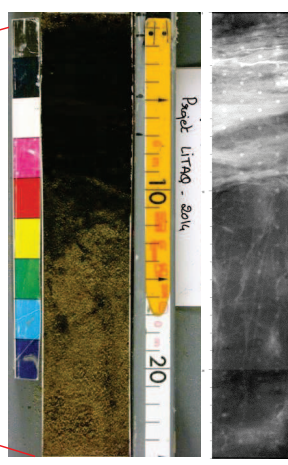
L*



S2

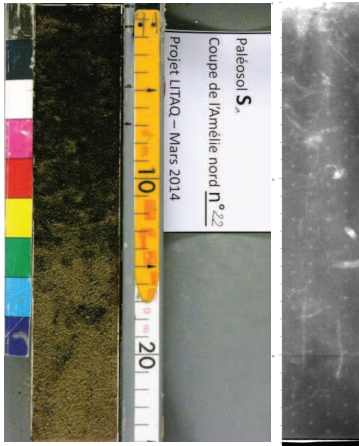


S1



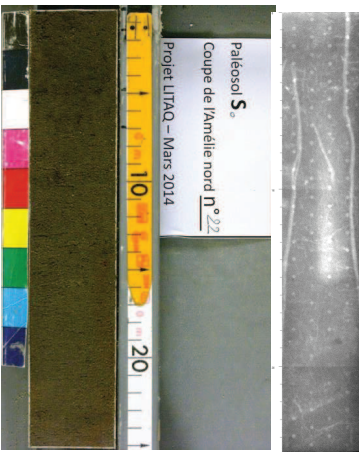
=> DATES S1 =
fin 1^{er} siècle

Coupe Amélie nord, n°22



=> DATES
S1 = 1^{er}
siècle

| VERA Lab Code | ID | Sample label | pMC | +/- | years BP | +/- | from | to | from | to | Moy. | |
|---------------|-------------|-----------------------|--------|--------|----------|--------|--------|------|--------|-------|-------|----|
| VERA-51339 | FEsoil01_18 | Coupe 21 2 Paleosol 0 | 78.735 | 0.694 | 1920.6 | 70.807 | 1.5 | 210 | -90.5 | 252 | 80.75 | AD |
| VERA-51337 | FEsoil01_16 | Coupe 25, Paleosol 0 | 77.709 | 0.6287 | 2025.9 | 64.991 | -109.5 | 54.5 | -198.5 | 123.5 | -37.5 | BC |

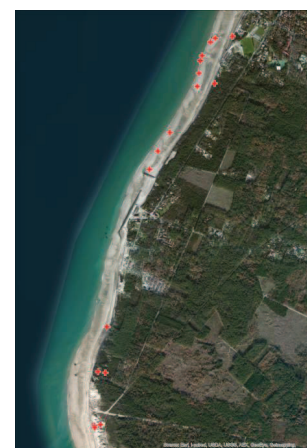


=> DATES S0
= ~ 0 yr AD

15
15

| SITES LITAQ | LONG. (W) | LAT. (°N) | LONG. WGS84 | LAT. WGS84 | Age | Alt. Géolde | AGE 14C CAL BP (Bard) | * -800 pour matériel main | AGE BP Min yr CAL CALIB (basé sur erreur 14C) | AGE BP Max yr CAL CALIB (basé sur erreur 14C) |
|--|--------------------|--------------------|-------------|------------|----------------|-------------|-----------------------|---------------------------|---|---|
| LITAQ -G1 Top = lignites (age = report du niveau 18 Dubreuilh ?) + J Roussot Larroque, 1975 : - (niveau 18), sables humiques à débris de racines, séparé du précédent par une couche de sables | 1°09'15.8880" | 45°27'59.0460" | -1.15441 | 45.46640 | | 73.7 m | | | 3106 | 3286 |
| LITAQ -G2 base bois (age = moyenne des bois datés) | | | -1.15436 | 45.46622 | | | 9800 | | 9725 | 9875 |
| LITAQ -A2 0 cm | 1°08'22.698" | 45°30'05.094" | -1.13964 | 45.50142 | | 53.1 m | 1349 | | 1231 | 1334 |
| Niveau à Scrobiculaire | | | | | | | 1610 | * | 1630 | 1751 |
| LITAQ -A2 niveau à huîtres ; dates sur huîtres | 1°08'22.698"W | 45°30'05.094"N | -1.13964 | 45.50142 | | | 1669 | * | 1697 | 1823 |
| LITAQ -A2 niveau à huîtres ; dates sur gastéropodes | 1°08'22.698"W | 45°30'05.094"N | -1.13964 | 45.50142 | | | 1220 | * | 1243 | 1373 |
| LITAQ -A2 niveau à huîtres ; dates sur bois | 1°08'22.698"W | 45°30'05.094"N | -1.13964 | 45.50142 | | | 1337 | | 1292 | 1412 |
| Couche à huître (prelevement gilles ? Ou moi???) | A coté de A2? | | | | | | 1608 | * | 1617 | 1765 |
| Age moy. LITAQ -A2 niveau à huîtres(bois/gastéro./huîtres) | 1°08'22.698"W | 45°30'05.094"N | -1.13964 | 45.50142 | | | 1409 | | 1411 | 1536 |
| Empreintes d'animaux, relevées au niveau de la coupe n°1, paleosol S1 dont age moy. = 850 AD | 1°08'29.7360" W | 5°29'49.8600" N | -1.14159 | 45.49718 | Antérieur à S1 | 59.8 m | 1100 | | | |
| Forme LITAQ la glaneuse (age = moyenne des bois datés) | | voir photo | | | | | 4532 | | 4462 | 4602 |
| Couche N°16 de Dubreuilh daté par Julia RL en 1975 sur site archéo age : 5100 +/- 90 14C BP. Citation : Ainsi le niveau archéologique le plus bas, surface rubéfiée de sables éoliens grisâtres | | | -1.15436 | 45.46622 | | | 5800 | | 5710 | 5890 |

| SITES LITAQ | LONG. WGS84 | LAT. WGS84 |
|---|-------------|------------|
| LITAQ -A2 | -1.13964 | 45.50142 |
| Un puit ou une citerne sans aucun matériel associé a été découvert sur la plage de | -1.14179 | 45.50117 |
| Alignement "c", au Nord sur la plage de La Glaneuse à une centaine de mètres de | -1.14237 | 45.50081 |
| Alignement "a" (au Nord de "b") | -1.14334 | 45.49957 |
| Alignement "b" ☒ | -1.14353 | 45.49911 |
| Empreintes d'animaux | -1.14361 | 45.49801 |
| Empreintes d'animaux, relevées au niveau de la coupe n°1, paleosol S1 dont age | -1.14159 | 45.49718 |
| Traces d'agricultures sous forme de sillons observées au niveau d'une couche arg | -1.14373 | 45.49684 |
| Fossé à angle droit creusé dans les argiles holocènes et contenant du matériel de | -1.14687 | 45.49263 |
| Site à sel (Roussot-Larroque, 1998). Il s'agit d'un niveau de couleur violette somb | -1.14826 | 45.49093 |
| Structure en pierre de forme rectangulaire, découverte dans les sables | -1.14920 | 45.48928 |
| La Balise (LBC—45 28.664°N, 1 9.204°W), | -1.15340 | 45.47773 |
| La Balise South (LBC—45 28.51°N, 1 9.21°W) | -1.15350 | 45.47517 |
| Pointe de La Ne'gade (PNf—45 28.27°N, 1 9.26°W) | -1.15433 | 45.47117 |
| Le Gurg North (LGNc—45 27.99°N, 1 9.22°W), | -1.15367 | 45.46650 |
| LITAQ -G1 | -1.15441 | 45.46640 |
| LITAQ -G2 | -1.15436 | 45.46622 |



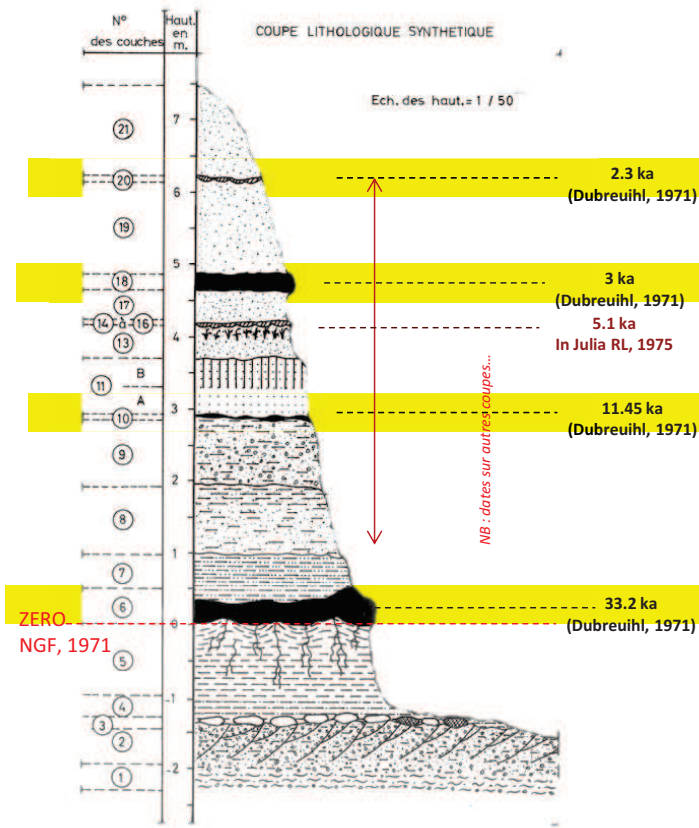
Coupe de la pointe de la Négade (Dubreuilh, 1971)

- POINTE DE LA NEGADE (coupe n°2) -

x = 326,95
y = 357,57

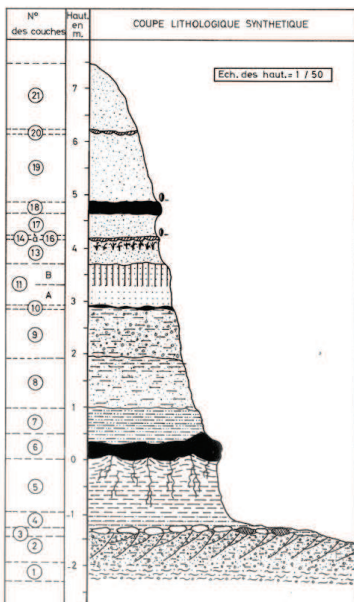
Cette coupe comprend deux parties :

- a/ A la base, au niveau des basses mers affleurent périodiquement les couches suivantes :
- (1) Des sables argileux et graveleux vert-clair en feuillets de 0,3 à 0,4 cm d'épaisseur, intercalés, sableux et argileux à rides de courant (épaisseur visible 0,40 m). Les lits se chargent en graviers et deviennent plus épais (3 à 4 cm) vers le sommet de la couche. Cet horizon se termine par une croûte ferrugineuse à perforations attribuables à des racines.
 - (2) Des sables et des graviers rougeâtres légèrement argileux, rubéfiés à stratifications obliques indiquant un courant N.NW-SE (épaisseur 0,50 m).
 - (3) Un horizon de galets polygéniques discordant sur les stratifications obliques. Au même niveau et dans les mêmes conditions de gisement ont été recueillis des fragments osseux d'Elephas (Réf. biblio. n° 20).
 - (4) Une argile sableuse verte vient obliterer la formation sous-jacente.
- b/ Sur la haute plage, débute la falaise. Le raccord entre les deux coupes partielles (a) et (b) a été contrôlé par des trous à la tarière.
- On distingue de bas en haut :
- (5) Une argile verdâtre sombre constituée par une alternance de feuillets millimétriques, sableux et argileux, d'aspect varvé (épaisseur 1,00 à 1,50 m). Le sommet a subi une très forte érosion.
 - (6) Un dépôt lignito-tourbeux irrégulier vient mouler le sommet des argiles. On peut y voir des débris de bois, des racines et les restes d'une végétation herbacée (épaisseur 0,10 à 0,50 m).
 - (7) Des grès argileux grisâtres, localement humiques (0,30 à 0,70 m).
 - (8-9) Des sables argileux et des graviers que l'on peut subdiviser en deux parties.
 - 8 / Des sables légèrement argileux grisâtres devenant plus argileux, vert-clair au sommet (épaisseur 1,00 à 1,20 m).
 - 9 / Des sables argileux et des graviers jaunâtres, devenant progressivement plus argileux et marbrés bleuâtres et rouille (épaisseur 1,00 à 1,30 m).
 - (10) Un horizon très lenticulaire de tourbe noirâtre.
 - (11A) Sables jaunâtres à lits millimétriques argileux (épaisseur 0,40 m).
 - (11B) Des sables moirés cimentés en silice humique (épaisseur 0,50 m).
 - (13) Sables colliens grisâtres à débris végétaux (épaisseur 0,40 à 0,50 m), limités à leur toit par une surface rubéfiée (14 à 16) supportant des débris de taille de silex.
 - (17) Des sables colliens marron (épaisseur 0,50 m).
 - (18) Sables humiques à débris de racines, fragments de taille de silex et débris de poteries calcinées.
 - (19) Des sables colliens rouges (épaisseur 1,30 à 1,50 m).
 - (20) Un horizon jaunâtre de rubéfaction.
 - (21) Les sables colliens de la dune actuelle (épaisseur variable).



SOURCE : Jacques DUBREUILH, 1971. DES BORDEAUX 1.
Etude géologique des formations quaternaires du Bas-Médoc.
Essai de corrélations stratigraphiques.

COUPE DE "LA POINTE DE LA NEGADE"

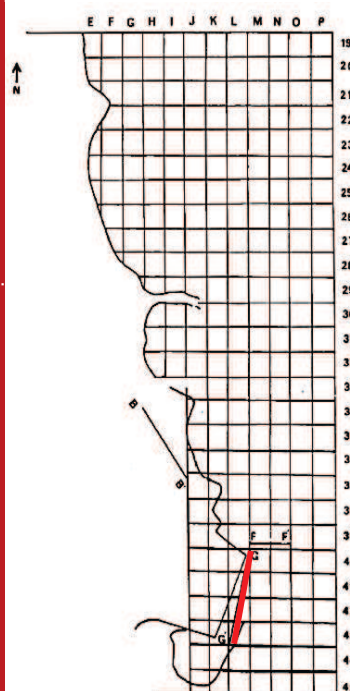


| Paleosols. (d'après Dubreuilh 1971) | Coord X, Lambert II | Coord Y, Lambert II | Age BP brut (d'après) | | | |
|---|---------------------|---------------------|---|-------|-------|-------|
| Coupe du GURP Niveau N° 6: horizon tourbeux constitué de débris de bois flottés, écorces et racines, peut être observé de façon épisodique sur le littoral. En effet, une très forte érosion a affecté cette formation lignito tourbeuse, qui vient mouler le toit des argiles du GURP; elles mêmes très érodées. Deux études parallèles ont été effectuées afin de préciser l'âge de cette couche, l'une par la méthode du 14C, l'autre par la palynologie | 327 | 354.2 | 14C morceaux de bois inclus dans ce niveau l'Amélie : 29 800 - 1400 BP / + 1600 + | 36619 | 35019 | 38219 |
| Niveau 10: l'horizon tourbeux (10) rencontré, au GURP et à la pointe de la Négade a été daté 11 450 ± 100 BP (VIIIe COQgrès INQUA) | 327 | 354.2 | 11 450 ± 100 | 13366 | 13266 | 13466 |
| Coupe de la pointe de la négade | 326.95 | 357.57 | | | | |
| Niveau 18, date sur la coupe de DEPE | 326.4 | 352.13 | 3000 (+/- 90) | 3196 | 3106 | 3286 |
| Niveau 20, tourbe noire date sur la coupe de DEPE | 326.4 | 352.13 | 2300 (+/- 70) | 2312 | 2242 | 2382 |
| Niveau 20, tourbe noire date sur la coupe LEDE des FRAYRES | 325.95 | 342.2 | 1750 (+/- 100) | 1656 | 1556 | 1756 |
| Niveau 14 à 16 Coupe de St Nicolas | 325.6 | 338.94 | 5100 (+/- 90) | 5808 | 5718 | 5898 |

Atelier du 20/01/2015

CoupeSSS LDG... depuis JLR & Fabre?

La Lède du Gulp, coupe frontale GG' (Rousset-Larroque & Villes, 1988, Marambat & Rousset -arroque, 1989)



Photos prise le 20/03/2014



Photos prise le 03/10/2014



Photos prise le 21/10/2014



LITAQ/ G2

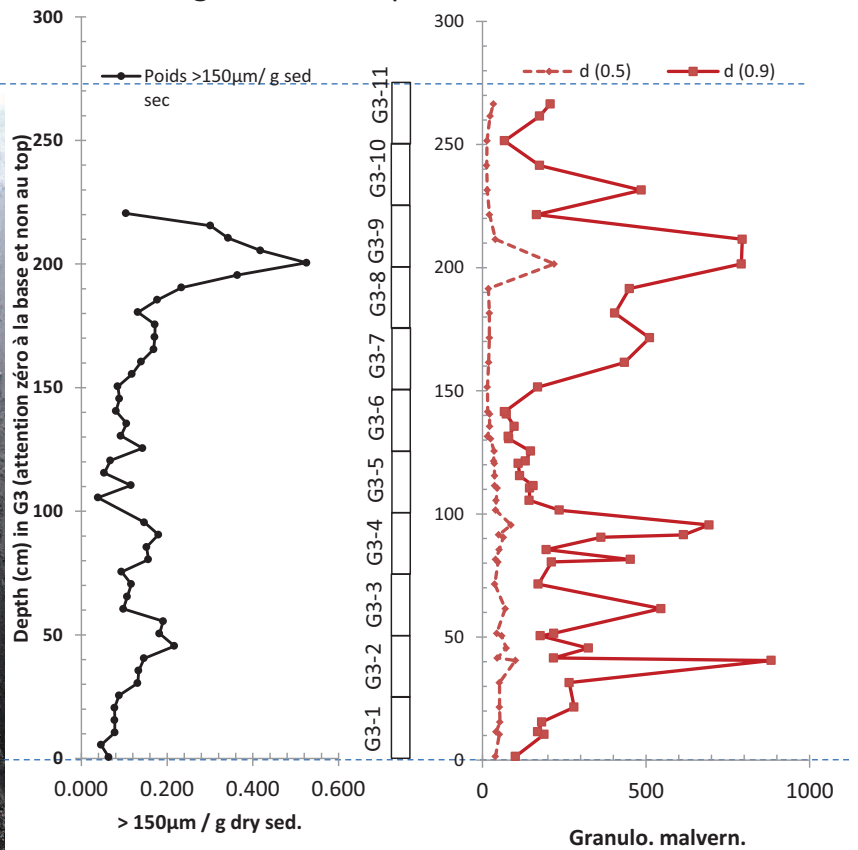
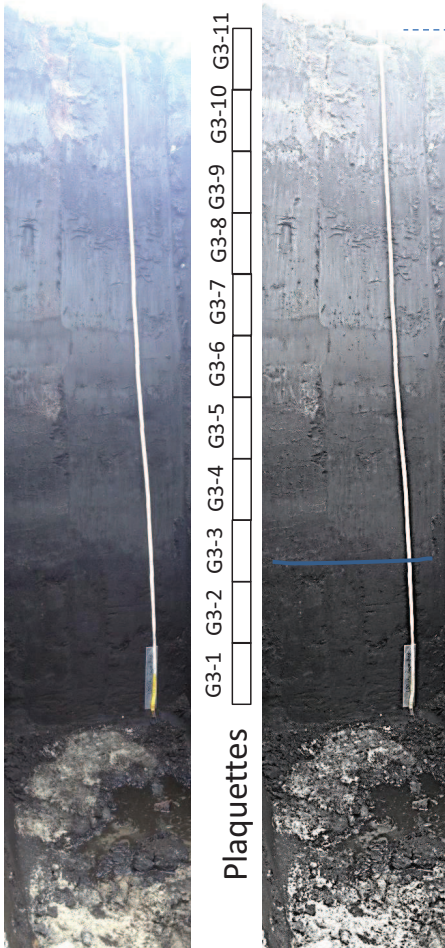


LITAQ/ LDG14-G3

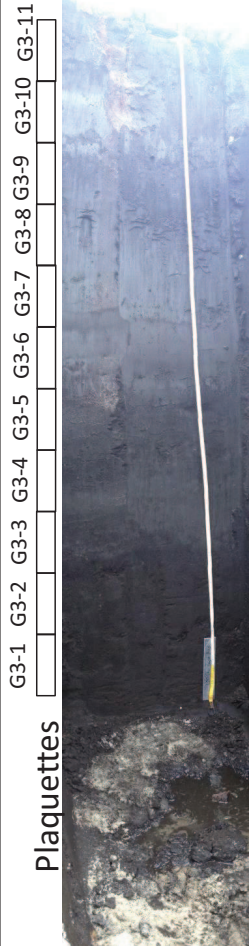




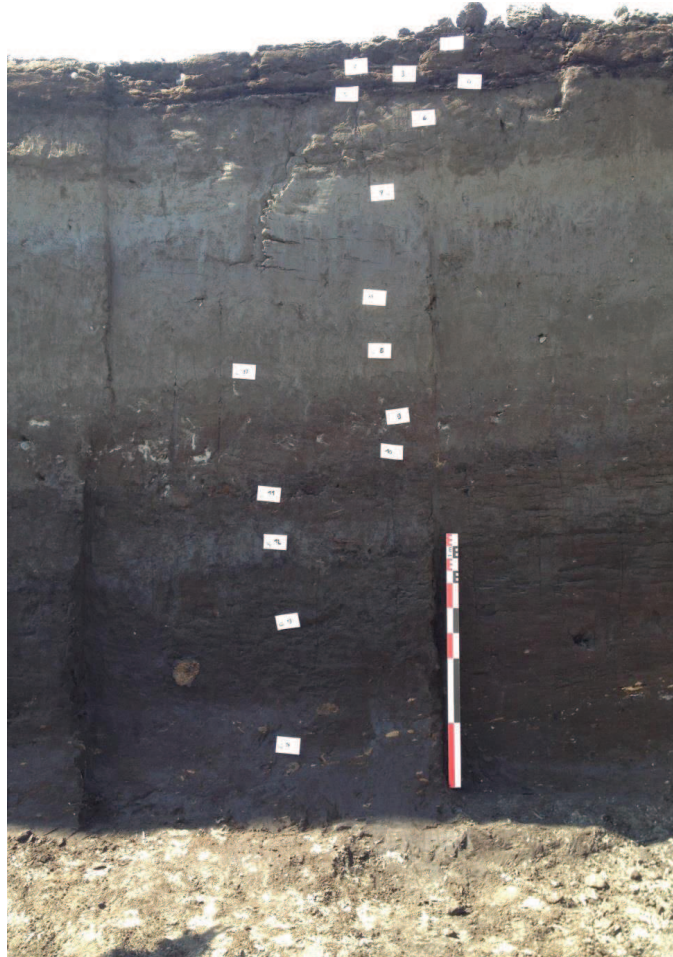
Données granulométriques



LITAG/ LDG14 –G3



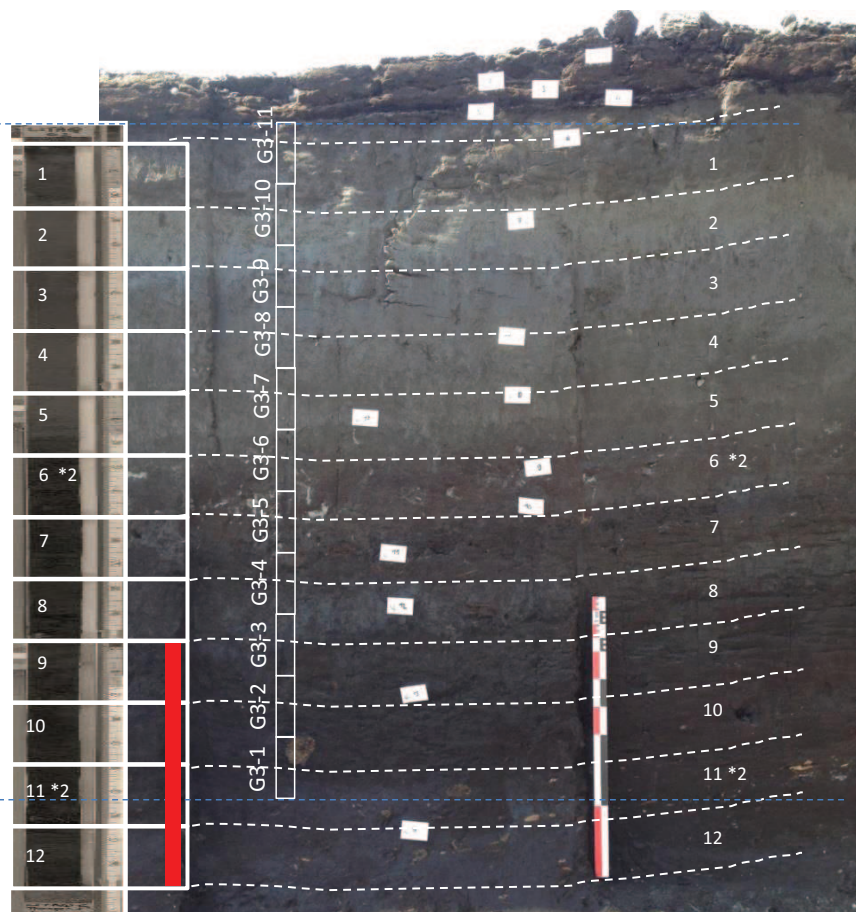
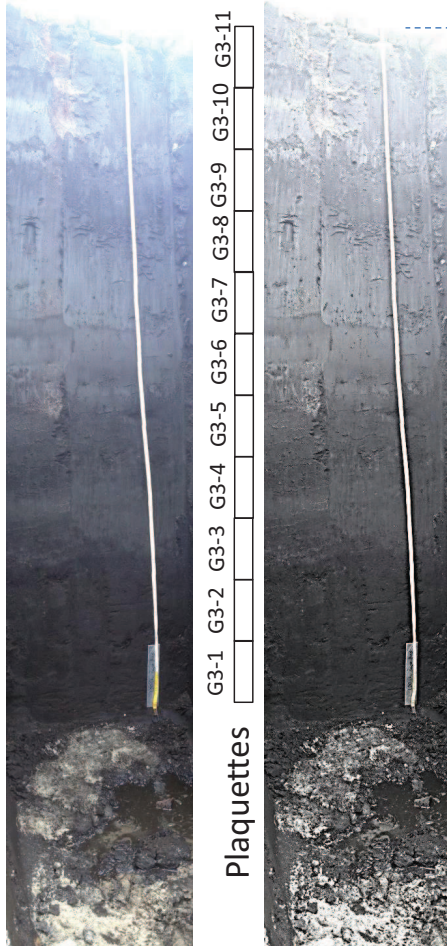
LITAG/ G2



LITAG/ LDG14 –G4



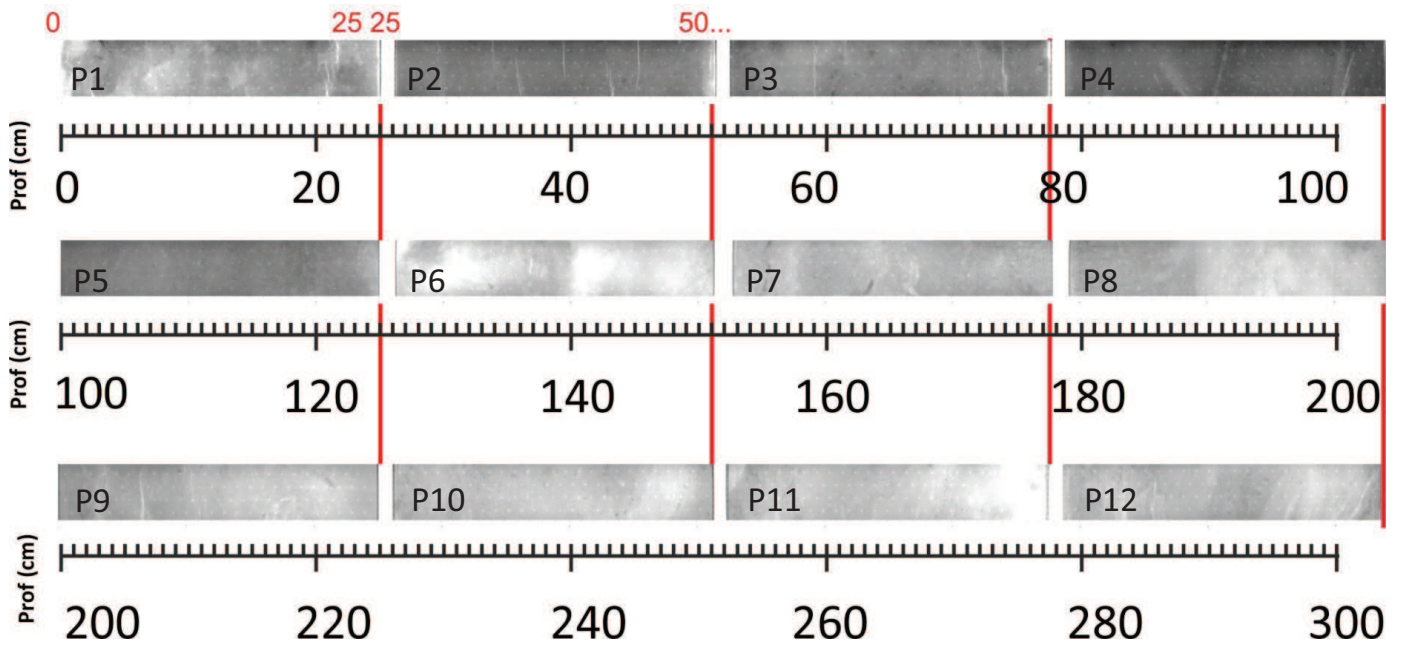
LITAG/ LDG14 –G3





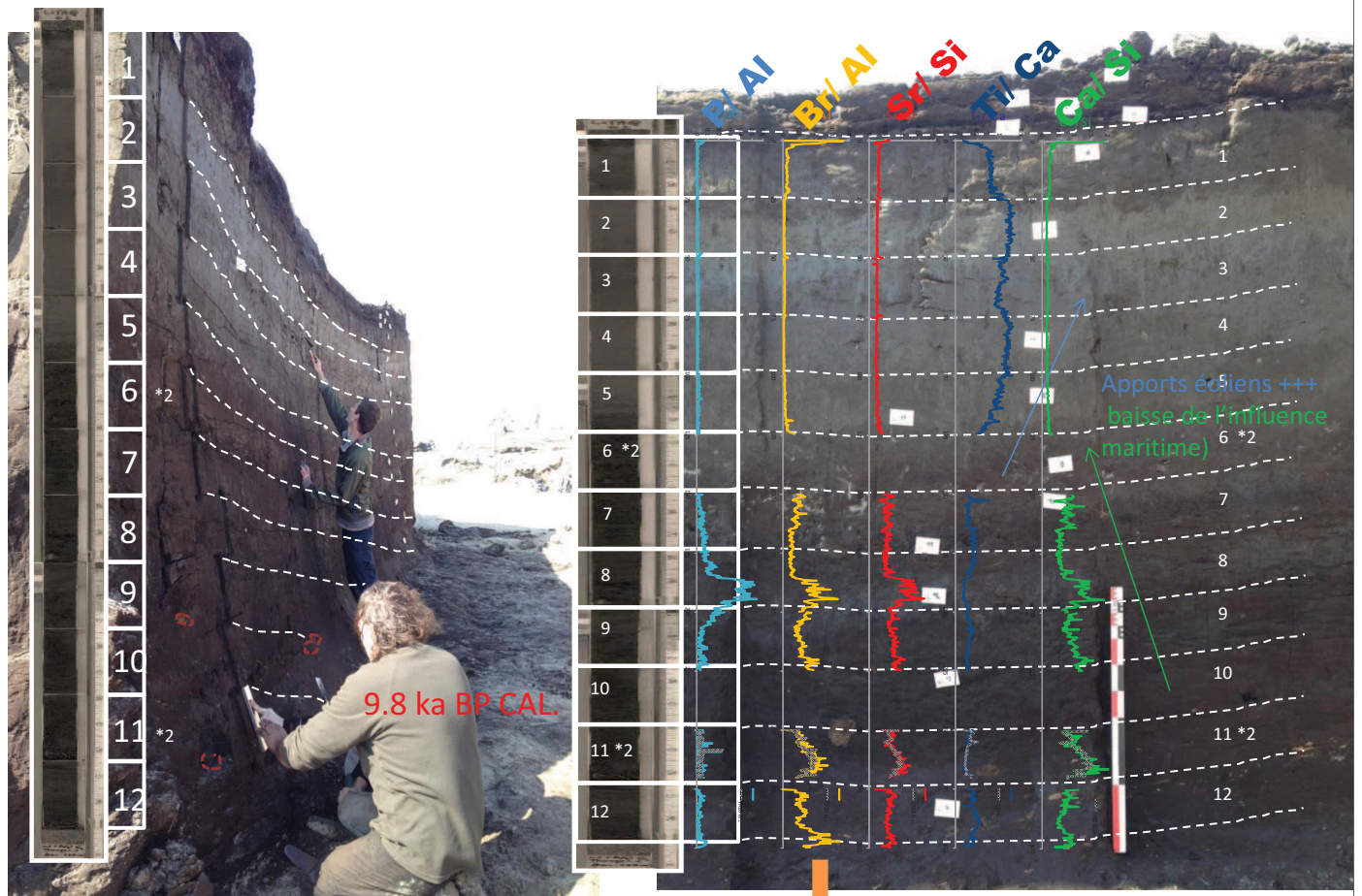
Imagerie SCOPIX

LITAG_G2_plaquettes



LITAG -G2 (-1.15436; 45.46622)

Plaquetage affleurement LITAG_G2, site de fouille J. Roussot-Larroque



Pics de MO = tourbes

La Lède du Gurg, coupe frontale GG' (Rousot-Larroque & Villes, 1988,
Marambat & Rousot -arroque, 1989)

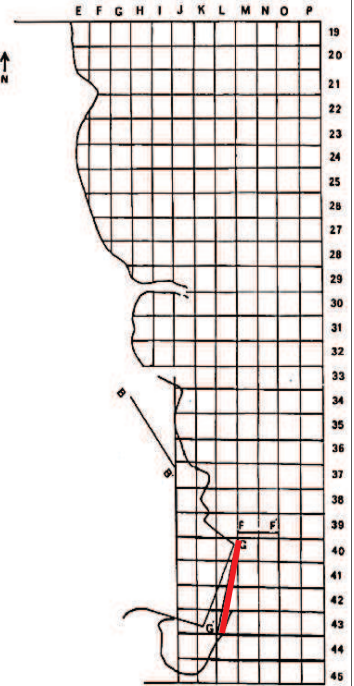


Fig. 4. — La Lède du Gurg (Grayan-et-l'Hôpital, Gironde). Coupe stratigraphique sagittale : Premier et Second âges du Fer.

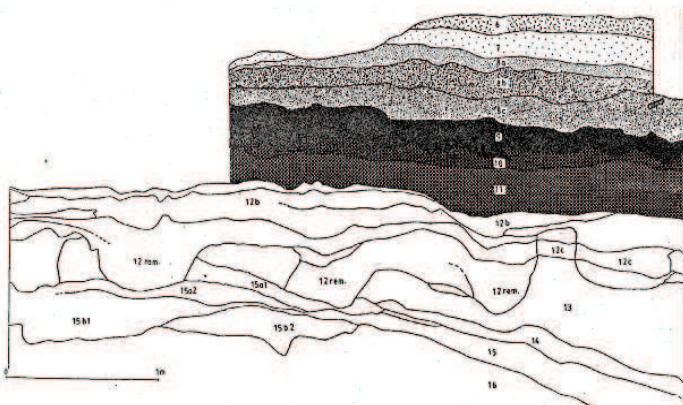
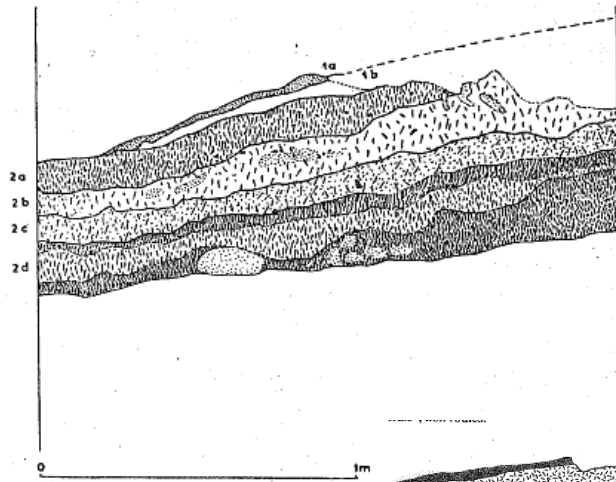


Fig. 2. — La Lède du Gurg (Grayan-et-l'Hôpital, Gironde). Coupe stratigraphique frontale partielle : dépôts du Tardoglacière au Néolithique récent.

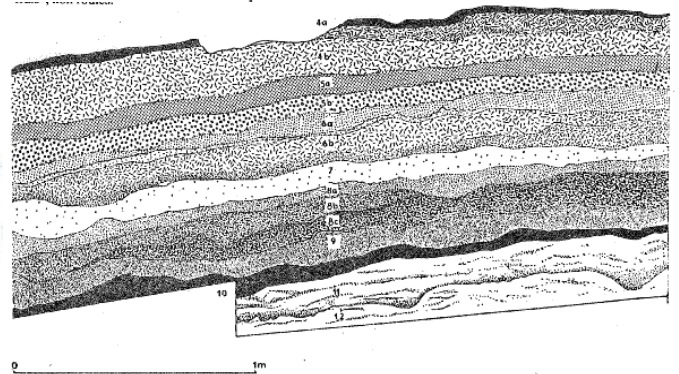


Fig. 3. — La Lède du Gurg (Grayan-et-l'Hôpital, Gironde). Coupe stratigraphique partielle : de l'Épipaléolithique au sommet du Bronze moyen.